

**МЕТОД ИЗУЧЕНИЯ ФАЗОВЫХ ПРЕВРАЩЕНИЙ
ПРИ ВЫСОКИХ ДАВЛЕНИЯХ
С ПОМОЩЬЮ УДАРНОГО СЖАТИЯ ПОРИСТЫХ ВЕЩЕСТВ**

A. I. Фунтиков
(Москва)

Применение ударного сжатия для изучения фазовых превращений при высоких давлениях представляется весьма интересным.

Рядом авторов рассмотрено поведение ударных адиабат при изменении фазового состояния вещества и, в частности, плавления. В работах [1, 2] установлено, что ударные адиабаты претерпевают изломы на границах области существования твердых и жидкых фаз. Однако существующие экспериментальные данные по ударному сжатию выявляют изломы ударных адиабат с большей неопределенностью [3, 4]. Причина заключается в относительно высокой погрешности измерения параметров, определяющих состояние за фронтом ударной волны. Ошибка измерения вносится как при измерении скорости ударной волны или массовой скорости в исследуемом веществе, так и при определении исходной интенсивности ударной волны, подводимой к исследуемому образцу.

Первые оценки температуры плавления при ударном сжатии алюминия и NaCl были сделаны Минеевым и Савиновым [5] на основании измерений вязкости за фронтом ударной волны. Наиболее сильное влияние оказывает процесс плавления на температуру за фронтом ударной волны. Это позволило [6] непосредственными измерениями температуры в NaCl и KCl определить участки кривой плавления вблизи пересечения ее с ударной адиабатой. Результаты [6] использованы для обоснования метода изучения фазовых превращений с помощью ударного сжатия пористых веществ, который в настоящей работе применен к исследованию плавления.

Рассмотрим на $T - p$ -диаграмме

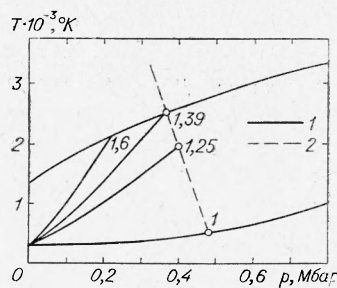


Рис. 1. $T - p$ -диаграмма меди (цифры обозначают пористость).

1 — ударные адиабаты и кривая плавления; 2 — кривая одного заряда.

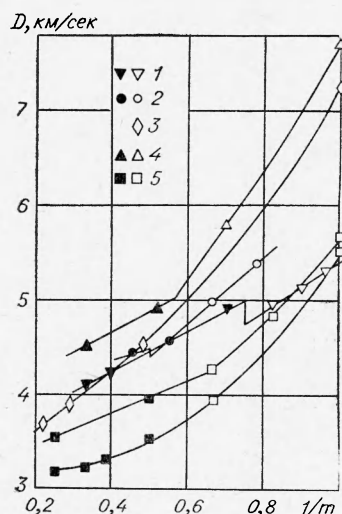


Рис. 2. Зависимость скорости ударной волны, измеренной в условиях одного заряда, от приведенной начальной плотности (черные точки — жидкое состояние вещества, светлые — твердое).

1 — KCl; 2 — NaCl; 3 — LiF; 4 — Al; 5 — Cu.

ме положение ударных адиабат вещества с нормальной начальной плотностью и плотностью, уменьшенной по сравнению с нормальной. Пористостью вещества m будем считать отношение нормальной плотности вещества к начальной. На рис. 1 представлены рассчитанные по уравнениям состояния [4] ударные адиабаты меди, ограниченные кривой плавления. Участок кривой одного заряда, расположенный в области твердого состояния вещества, ограничен ударной адиабатой, отвечающей предельной пористости $m_{\text{пр}}$. Зависимость скорости ударной волны от начальной плотности для кривой одного заряда является однопараметрической зависимостью и может быть измерена с относительно высокой точностью в несложных экспериментах. Разница в уравнениях состояния жидкой и твердой фаз приводит к разрыву кривой одного заряда. Расчеты по уравнениям состояния ионных соединений [3, 6] и металлов [4, 7] показали, что скорость ударной волны на участке кривой одного заряда в жидкой фазе больше, чем в твердой, примерно на 2—6% для ионных соединений и на 1—2% — для металлов.

Тщательные сравнительные изменения скорости ударной волны в образцах различной плотности позволяют выявить эти изломы.

В работе использовался заряд ВВ из сплава тротил — гексоген 5/5 диаметром 120 и длиной 220 мм, в котором плоская ударная волна формируется специальной линзой. Исходное состояние за фронтом ударной волны в алюминиевом экране, отвечающее давлению $p=330$ кбар и относительному сжатию $\sigma=1,28$, вместе с последующими состояниями при повторном ударном сжатии или изэнтропическом расширении находятся в области твердой фазы вещества и связаны непрерывными зависимостями кинематических и термодинамических параметров.

На рис. 2 представлены экспериментальные данные некоторых ионных соединений и металлов.

Контрольные данные для LiF, относящиеся целиком к твердой фазе вещества, представляют непрерывную зависимость. Для остальных ионных соединений существуют разрывы. Данные для алюминия и меди, ввиду небольшого числа экспериментальных точек, следует рассматривать как предварительные. Полученные зависимости служат для определения $m_{\text{пр}}$. Расчет температур плавления предельной пористости производится по уравнению состояния твердой фазы. В указанной ограниченной области давлений и температур вклад теплового возбуждения электронов незначителен, и применимо уравнение состояния Ми — Грюнайзена. Для исследованных ионных соединений были выбраны уравнения состояния, полученные в работах [3, 6], которые удовлетворительно описывают имеющиеся экспериментальные данные: начальный участок адиабаты ударного сжатия, статическую изотерму сжатия при $T=293^\circ\text{K}$, данные по расширению при нормальных условиях, а также для NaCl и KCl согласуются с экспериментальными данными по измерению температур на фронте ударной волны.

Следует отметить, что для достаточно больших $m_{\text{пр}}$ ошибка найденного значения температуры плавления слабо зависит от ошибки величины $m_{\text{пр}}$, однако при этом заметно увеличивается неточность в расчете давления, который проводится по обычной схеме с привлечением $p-u$ -диаграммы.

Таким образом, температура плавления определяется следующим выражением:

$$T_m = \frac{p - p_x}{\rho_0 \gamma C_v \sigma},$$

в котором C_v — теплоемкость, а p_x и γ — упругое давление и коэффициент Грюнайзена решетки. Полученные данные по плавлению представлены в таблице.

Как видно из рис. 3, данные для KCl совпадают с результатами работы [6]. Для NaCl (рис. 4) температура плавления ближе к кривой плавления второй фазы, имеющей структуру ОЦК, что, возможно, связано с особенностями NaCl, рассмотренными в [3].

Изучение ударного сжатия пористых веществ служит источником информации о кривой плавления при высоких давлениях, значительно превышающих статические давления, при которых возможны еще надежные измерения параметров сжатия вещества.

Для исследованных изложенным методом оптически прозрачных ионных соединений могут быть получены результаты в промежуточной области между статическими данными и температурой плавления на

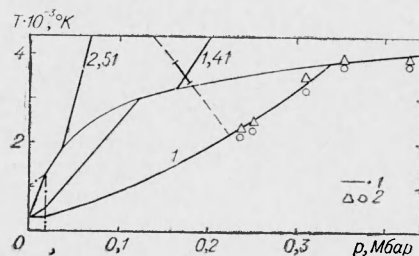


Рис. 3. $T - p$ -диаграмма KCl. Обозначения те же, что на рис. 1.
1 — фазовая кривая для KCl (I); 2 — результаты измерения температуры в [6].

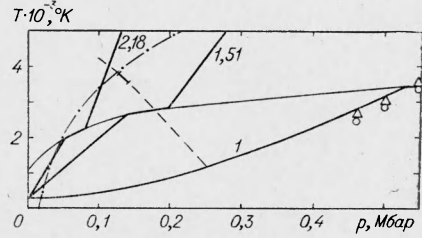


Рис. 4. $T - p$ -диаграмма NaCl. Обозначения те же, что на рис. 1 и 3.
— · · · · — фазовая кривая для NaCl (II) по [3].

ударной адиабате монокристалла. В непрозрачных веществах метод открывает новые возможности. Особый интерес представляет изучение плавления горных пород, железа и его сплавов в связи с проблемами строения Земли.

Наряду с плавлением изложенный метод не несет в себе ограничений при исследовании других фазовых превращений при высоких давлениях.

Поступила в редакцию
18/V 1969

ЛИТЕРАТУРА

1. В. Д. Урлин, А. А. Иванов. Докл. АН СССР, 1963, **149**, 1303.
2. Н. М. Кузнецов. Докл. АН СССР, 1964, **155**, 156.
3. С. Б. Кормер, М. В. Синицын и др. ЖЭТФ, 1964, **47**, 1202.
4. В. Д. Урлин. ЖЭТФ, 1965, **49**, 485.
5. В. Н. Минеев, Е. В. Савинов. ЖЭТФ, 1967, **52**, 629.
6. С. Б. Кормер, М. В. Синицын и др. ЖЭТФ, 1965, **48**, 1033.
7. С. Б. Кормер, А. И. Футников и др. ЖЭТФ, 1962, **42**, 686.